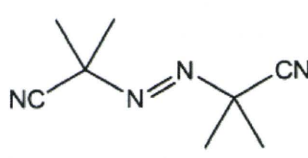
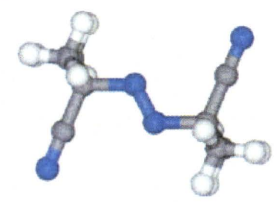
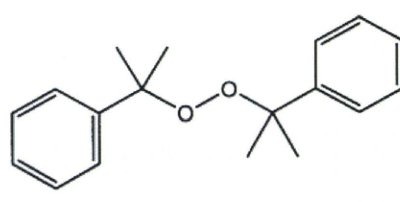
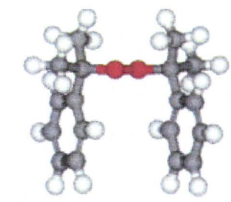
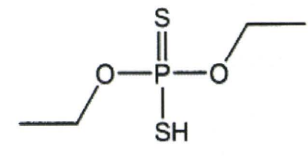
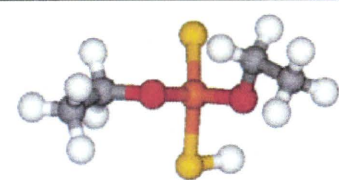
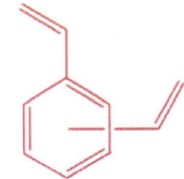
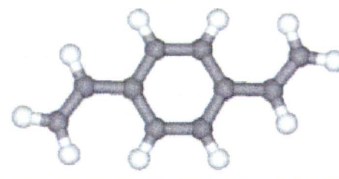
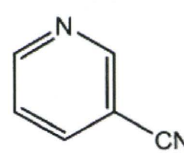
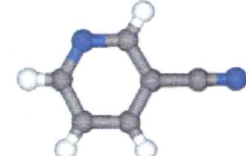
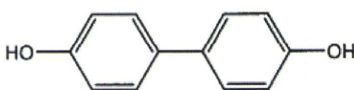
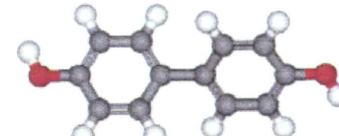
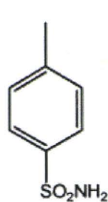
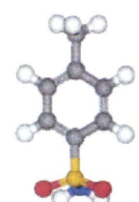
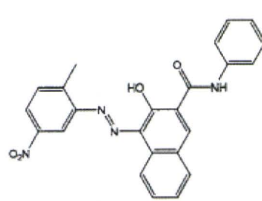
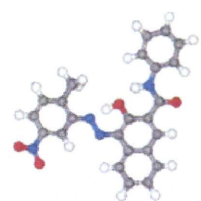
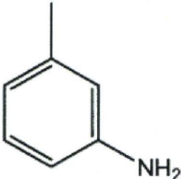

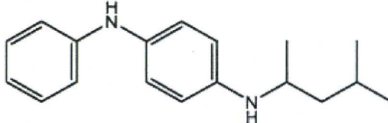
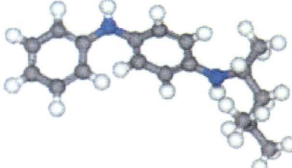
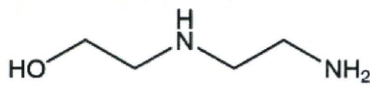
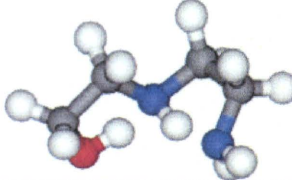
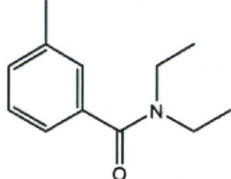
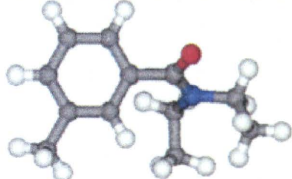

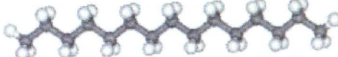

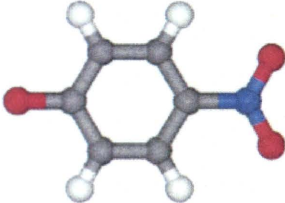
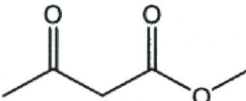
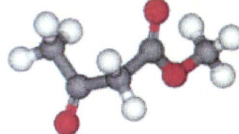
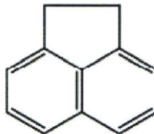
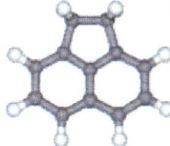
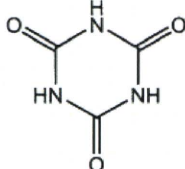
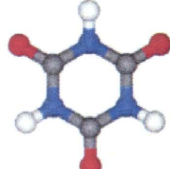
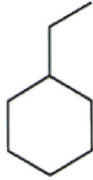

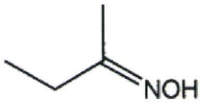
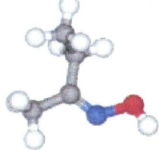
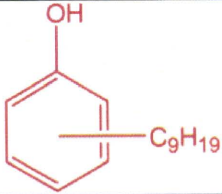
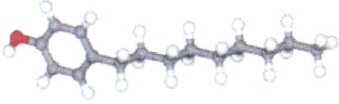
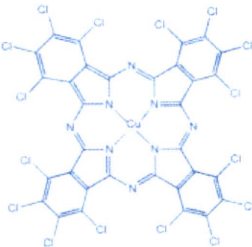
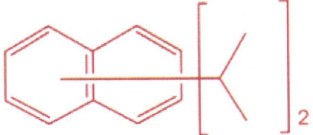
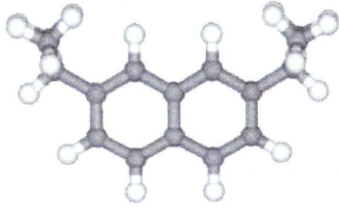
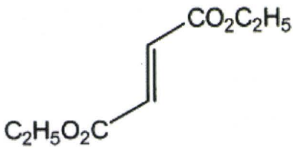
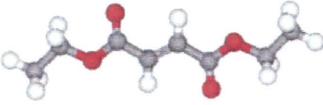
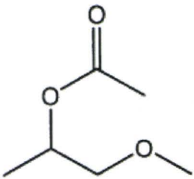
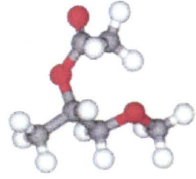
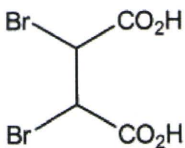
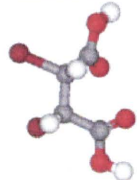
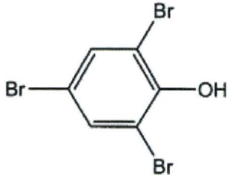
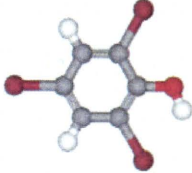
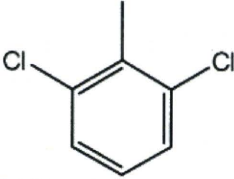
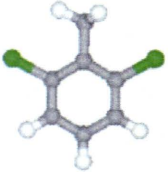
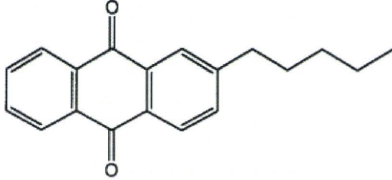
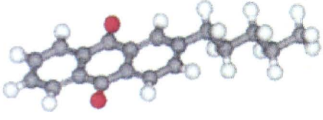
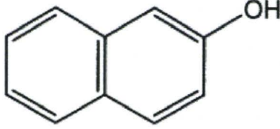
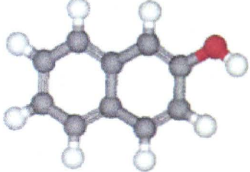
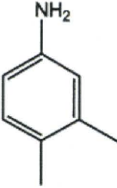
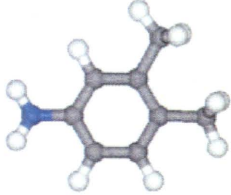
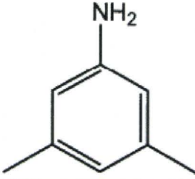
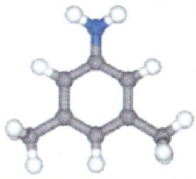
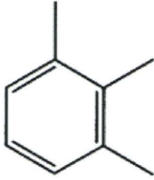
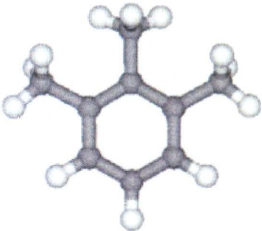
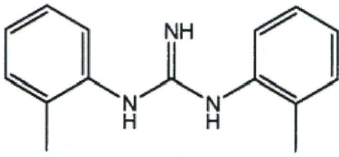
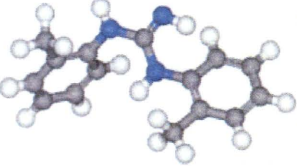
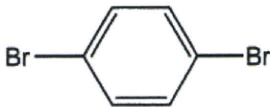
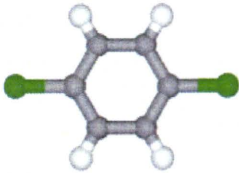

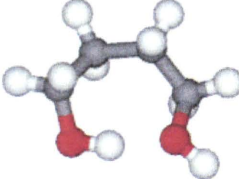
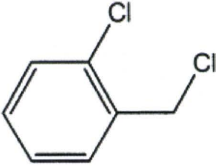
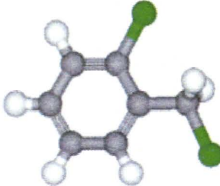
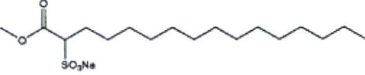
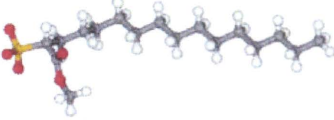
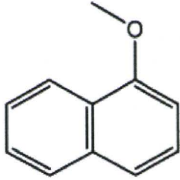
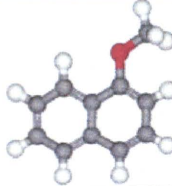
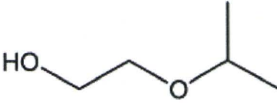
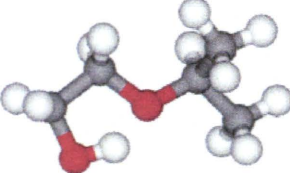
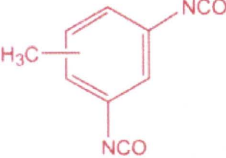
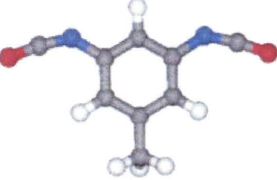
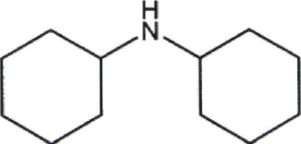
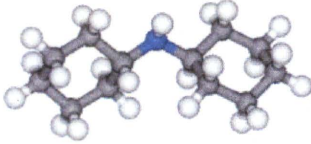


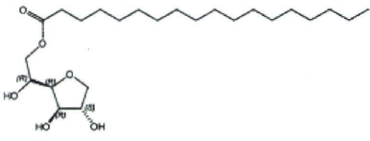
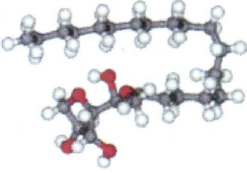
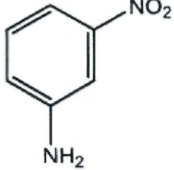
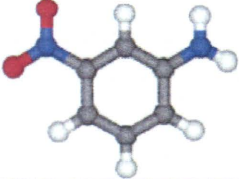
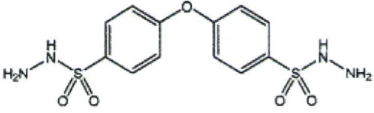
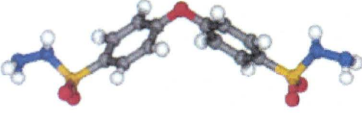
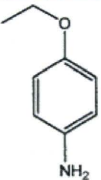
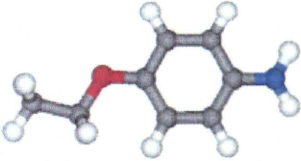
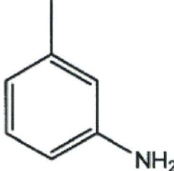
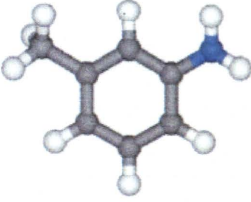
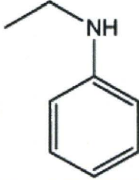
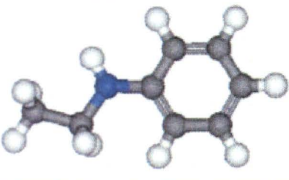
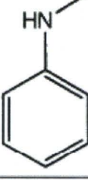
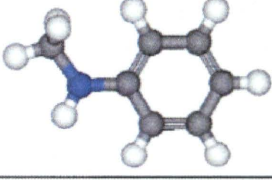
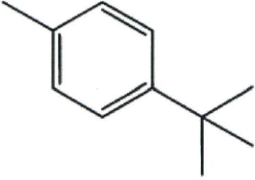

187	2,2'-アゾビス (2-メチルプロ パンニトリル)		
188	ビス(1-メチル -1-フェニルエ チル)ペルオキ シド		
189	0,0'-ジエチル ジチオリン酸		
190	ジビニルベン ゼン		
191	3-シアノピリ ジン		
192	4,4'-ビフェニ ルジオール		
193	4-メチルベン ゼンスルホン アミド		
194	C.I.ピグメント レッド 22		

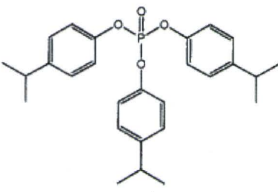
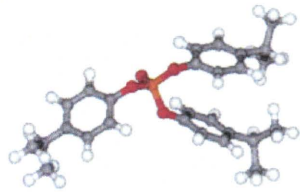
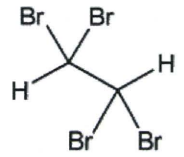
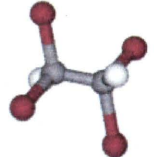
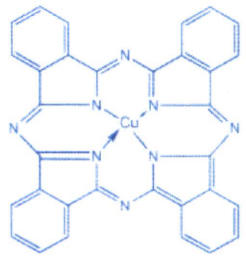
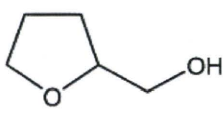
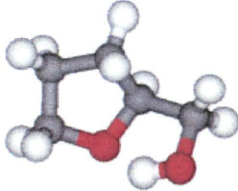
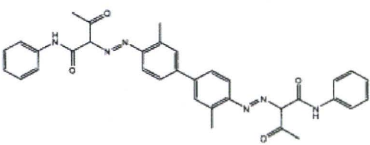
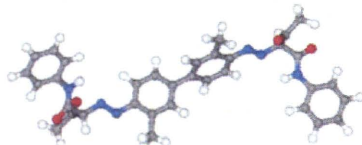
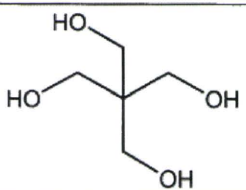
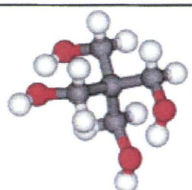
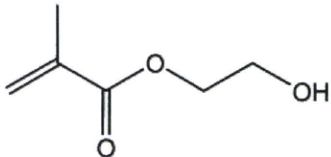
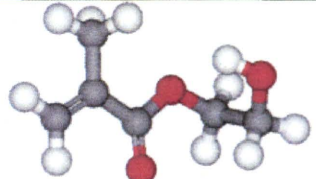
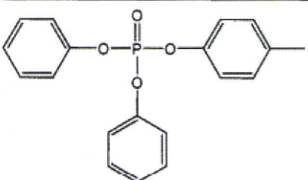
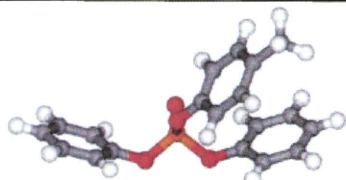
195	m・トルイジン		
196	N-(1,3-ジメチルブチル)-N'-フェニル-p-フェニレンジアミン		
197	N-(アミノエチル)エタノールアミン		
198	N,N-ジエチル-m-トルアミド		
199	n・ペンタデカン		
200	p-ニトロフェノールナトリウム		
201	アセト酢酸メチル		
202	アセナフテン		
203	イソシアヌル酸		

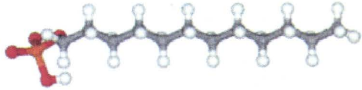
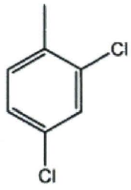
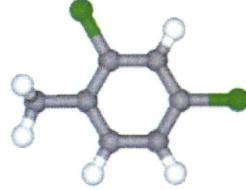
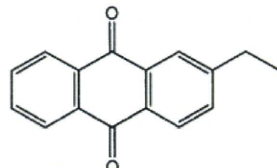
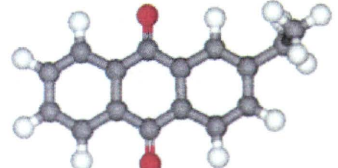
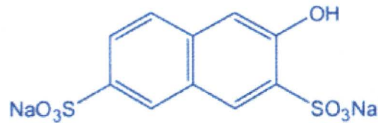
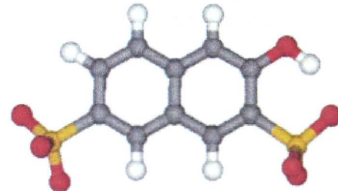
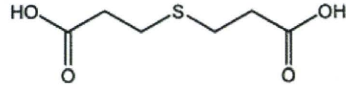
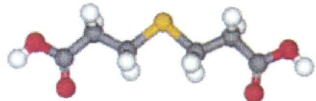
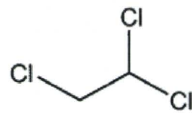
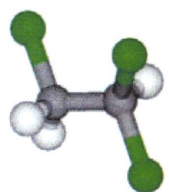
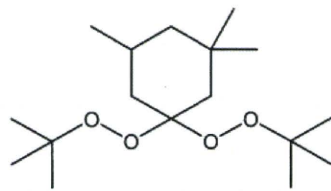
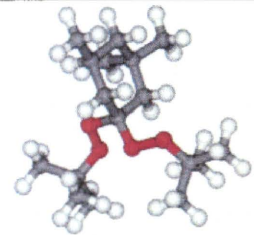
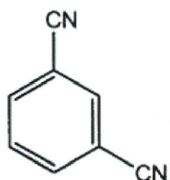
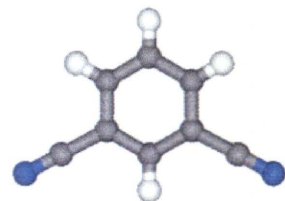
204	エチルシクロ ヘキサン		
205	エチルメチル ケトキシム		
206	ノニルフェノ ール		
207	ピグメントグ リーン No.7		検討中
208	ビス(1-メチル エチル)ナфта レン		
209	フマル酸ジエ チル		
210	プロピレング リコールモノ メチルエーテ ルアセテート		
211	2,3-ジプロモこ はく酸		


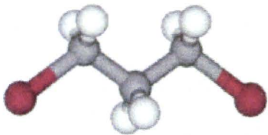

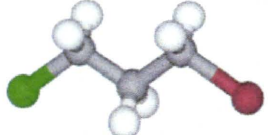
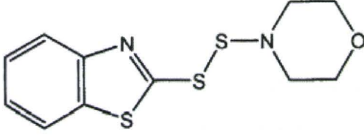
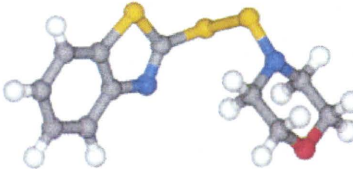
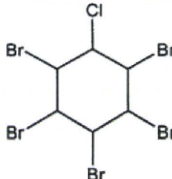
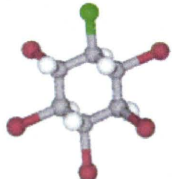
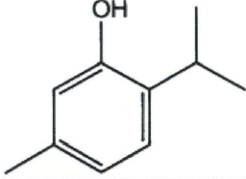
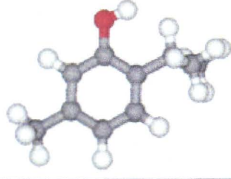
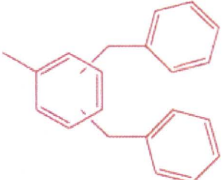
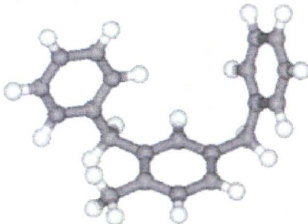
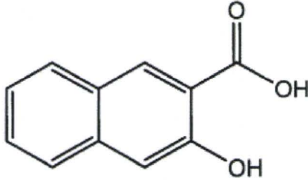
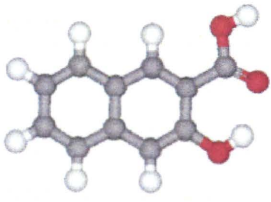
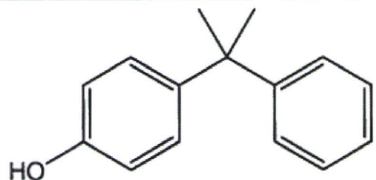
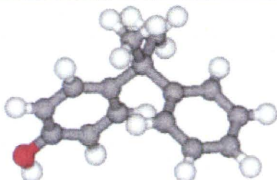
212	2,4,6-トリブromoフェノール		
213	2,6-ジクロロトルエン		
214	2-ペンチルアントラキノン		
215	2-ナフトール		
216	3,4-ジメチルアニリン		
217	3,5-ジメチルアニリン		
218	1,2,3-トリメチルベンゼン		
219	1,3-ビス(2-メチルフェニル)guanidイン		

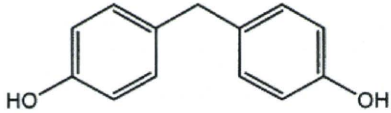
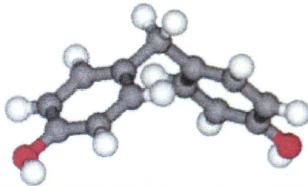
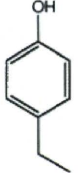
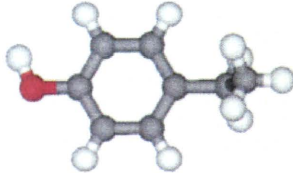
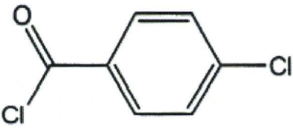
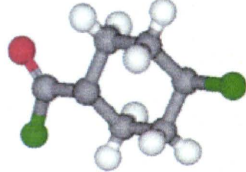
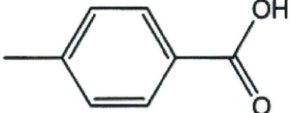
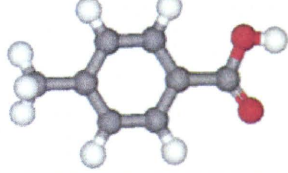
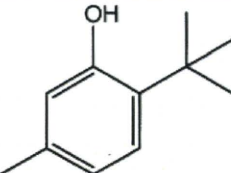
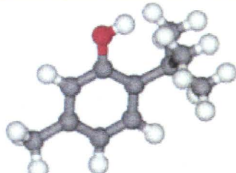
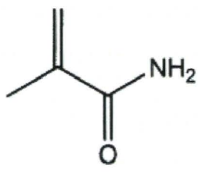
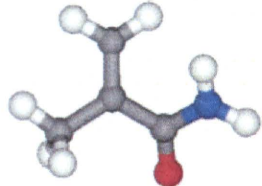
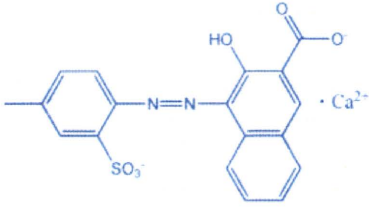
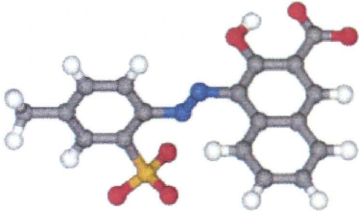
220	1,4-ジブロモベンゼン		
221	1,4-ブタンジオール		
222	1-クロロ-2-(クロロメチル)ベンゼン		
223	1-メトキシカルボニルペンタデカンスルホン酸ナトリウム		
224	1-メトキシナフタレン		
225	2-(1-メチルエトキシ)エタノール		
226	トリレンジイソシアナート		
227	ジシクロヘキシルアミン		

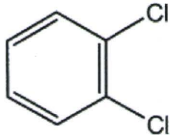
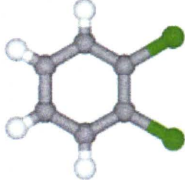
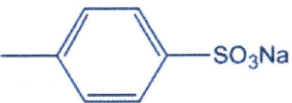
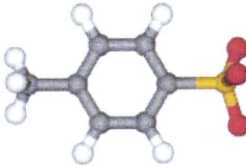
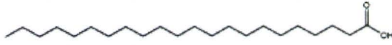
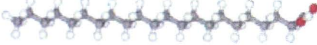
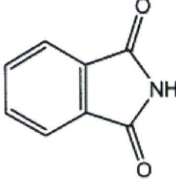
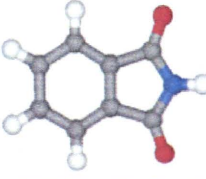
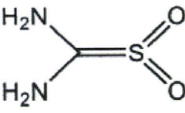
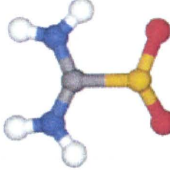
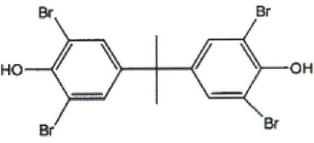
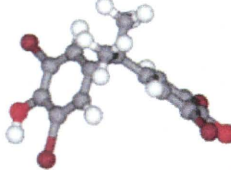
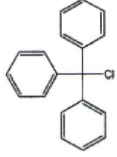
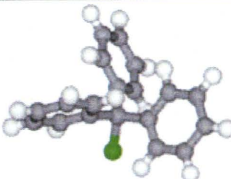
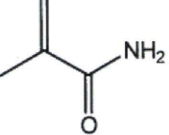

228	ソルビタンモノオクタデカノアート		
229	3-ニトロベンゼナミン		
230	4,4'-オキシビス(ベンゼンスルホニルヒドラジド)		
231	4-エトキシベンゼナミン		
232	m-トルイジン		
233	N-エチルアニリン		
234	N-メチルアニリン		
235	p-tert-ブチルトルエン		

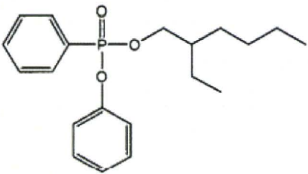
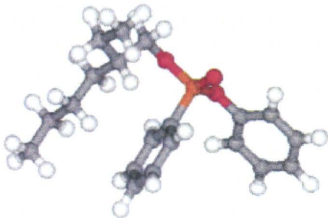
236	リン酸トリス (p-クメニル)		
237	四臭化エタン		
238	銅フタロシア ナート		検討中
239	テトラヒドロ フルフリルア ルコール		
240	ピグメントオ レンジ 16		
241	ペンタエリス リトール		
242	メタクリル酸 2-ヒドロキシ エチルエステ ル		
243	リン酸ジフェ ニルクレジル		

244	リン酸ドデシル エステルナ トリウム塩	$\text{C}_{12}\text{H}_{25}\text{O}-\text{P}(\text{OH})_2\text{ONa}$	
245	2,4-ジクロロ -1-メチルベン ゼン		
246	2-エチルアン トラキノン		
247	2-ナフトール -3,6-ジスルホ ン酸ナトリウ ム		
248	3,3'-チオビス (プロピオン酸)		
249	1,1,2-トリクロ ロエタン		
250	1,1-ビス(tert- ブチルジオキ シ)-3,3,5-トリ メチルシクロ ヘキサン		
251	1,3-ジシアノベ ンゼン		

252	1,3-ジブロモプロパン		
253	1-ブロモ-3-クロロプロパン		
254	2-(4-モルホリニルジチオ)ベンゾチアゾール		
255	クロロペンタブロモシクロヘキサン		
256	チモール		
257	ジベンジルトルエン		
258	3-ヒドロキシ-2-ナフトエ酸		
259	4-(1-メチル-1-フェニルエチル)フェノール		

260	4,4'-メチレンジフェノール		
261	4-エチルフェノール		
262	4-クロロベンゾイルクロリド		
263	4-メチル安息香酸		
264	6-tert-ブチル-m-クレゾール		
265	C.I. ピグメント トイエロー 53	Ti—Ni—Sb—O—O—Sb—Ni—Ti	—
266	C.I.ピグメント ブルー-29		
267	3-ヒドロキシ -4- [(4-メチル -2-スルフォ フェニル) アゾ] -2-ナフタレン カルボン酸カ ルシウム塩		

268	o-ジクロロベンゼン		
269	p-トルエンサルホン酸ナトリウム		
270	ドコサン酸		
271	フタルイミド		
272	硝酸カドミウム四水和物	$\text{Cd}(\text{NO}_3)_2 \cdot 4\text{H}_2\text{O}$	—
273	二酸化チオ尿素		
274	4,4'-イソプロピリデンビス(2,6-ジブromoフェノール)		
275	トリフェニルクロロメタン		
276	メタクリルアミド		

277	リン酸 (2-エチル ルヘキシル)ジ フェニルエス テル	 <p>The image shows the chemical structure of diethylhexylphosphoric acid. It consists of a central phosphorus atom (P) double-bonded to an oxygen atom (O) and single-bonded to two phenyl rings (C6H5) and one ethylhexyl chain. The ethylhexyl chain is a branched alkyl group with a total of six carbons, specifically a 2-ethylhexyl group.</p>	 <p>The image shows a ball-and-stick model of the diethylhexylphosphoric acid molecule. The phosphorus atom is represented by a red sphere, the oxygen atoms by red spheres, the carbon atoms by grey spheres, and the hydrogen atoms by white spheres. The model illustrates the three-dimensional arrangement of the atoms in the molecule.</p>
-----	---------------------------------------	--	---

構造式が赤：構造式が1つに決まらないもの

構造式が青：チャージを持っている化合物、無機化合物

研究成果の刊行に関する一覧表

発表者氏名	論文タイトル名	発表誌名	巻	ページ	出版年
M. Kurihara	Computational study on drug design and prediction of bioactivity for regulation of non-controlled psychotropic substances	<i>Bull. Natl. Inst. Health Sci.</i>	128	29-33	2010
Oba, M., Demizu, Y., Yamagata, N., Sato, Y., Doi, M., Tanaka, M., Suemune, H., Okuda, H., Kurihara, M.	Solid-state conformation of diastereomeric -Pro-Pro-(Aib) ₄ sequences	<i>Tetrahedron</i>	66	2293-2296	2010
Demizu, Y., Tanaka, M., Doi, M., Kurihara, M., Okuda, H., Suemune, H.	Conformations of peptides containing a chiral cyclic α, α -disubstituted α -amino acid within the sequence of Aib residues	<i>J. Pept. Sci.</i>	16	621-626	2010
Demizu, Y., Doi, M., Sato, Y., Tanaka, M., Okuda, H., Kurihara, M.	Three-Dimensional Structural Control of Diastereomeric Leu-Leu-Aib-Leu-Leu-Aib Sequences in the Solid State	<i>J. Org. Chem.</i>	75	5234-5239	2010
Nagano, M., Doi, M., Kurihara, M., Suemune, H., Tanaka, M.	Stabilized α -helix-catalyzed enantioselective epoxidation of α, β -unsaturated ketones	<i>Org. Lett.</i>	12	3564-3566	2010
Demizu, Y., Nakatsu, A., Sato, Y., Honzawa, S., Yamashita, A., Sugiura, T., Kittaka, A., Kato, S., Okuda, H., Kurihara, M.	Facile synthesis of stereoisomers of the non-secosteroidal ligand LG190178 and their evaluation using the mutant vitamin D receptor	<i>Lett. Org. Chem.</i>	8	43-47	2011
Yamagata, N., Demizu, Y., Sato, Y., Doi, M., Tanaka, M., Nagasawa, K., Okuda, H., Kurihara, M.	Design of a stabilized short helical peptide and its application to catalytic enantioselective epoxidation of (E)-chalcone	<i>Tetrahedron Lett.</i>	52	798-801	2011
Demizu, Y., Doi, M., Kurihara, M., Okuda, H., Nagano, M., Suemune, H., Tanaka, M.	Conformational studies on peptides containing α, α -disubstituted α -amino acids: chiral cyclic α, α -disubstituted α -amino acid as an α -helical inducer	<i>Org. Biomol. Chem.</i>	9	3303-3312	2011

